

МІНІСТЕРСТВО ОСВІТИ І НАУКИ УКРАЇНИ

Сумський державний університет

Факультет технічних систем та енергоефективних технологій

Кафедра технічної теплофізики

«До захисту допущено»

Завідувач кафедри

_____ Сергій ВАНСЄВ

«23» червня 2024 р.

КВАЛІФІКАЦІЙНА РОБОТА на здобуття освітнього ступеня бакалавр зі спеціальності 142 «Енергетичне машинобудування», освітньо-професійної програми «Опалення, вентиляція, кондиціонування повітря та штучний холод»

на тему: Проектування горизонтального кожухотрубчастого випарника холодильної машини холодопродуктивністю 35кВт

Здобувача групи ХК-01/1оп

Поліщука Ігоря Вікторовича

Кваліфікаційна робота містить результати власних досліджень. Використання ідей, результатів і текстів інших авторів мають посилання на відповідне джерело.

Ігор Поліщук

Керівник

Бага Вадим Миколайович

Консультант

Суми – 2024

Зміст

1.	Вступ.....	3
2.	Вихідні дані для розрахунку.....	4
3.	Класифікація випарників, переваги/недоліки.....	5
3.1	Основні випарники.....	5
3.2	Пластинчасті випарники.....	5
3.3	Теплові випарники.....	9
3.4	Спиральні випарники.....	15
3.5	Регенеративні теплообмінники.....	17
4.	Схема аміачної холодильної машини.....	20
4.1	Визначення розрахункових теператур.....	21
5.	Основні компоненти холодильної системи.....	24
5.1	Аміачний контур.....	24
5.2	Етиленглікольно-водневий контур.....	24
5.3	Принцип роботи системи.....	25
5.4	Зрощувальний кожухотрубчастий випарник.....	28
6.	Розрахунок кожухотрубчастого випарника.....	30
6.1	Тепловий розрахунок.....	30
6.2	Конструктивний розрахунок.....	33
6.3	Гідравлічний розрахунок.....	35
7.	Охорона праці.....	35
8.	Список джерел.....	45

					<i>Б142 02.00.00.00 ПЗ</i>					
Вим.	Лист	№ докум	Підпис	Дата						
Разраб	Поліщук				Проектування Горизонтального кожухотрубчастого випарника холодильної машини холодопродуктивністю 35кВт Пояснювальна записка			Литера	Лист	Листов
Перев.										
Н. Контр.								<i>СумДУ, ХК-01/10П</i>		
Утв	Ванеєв									

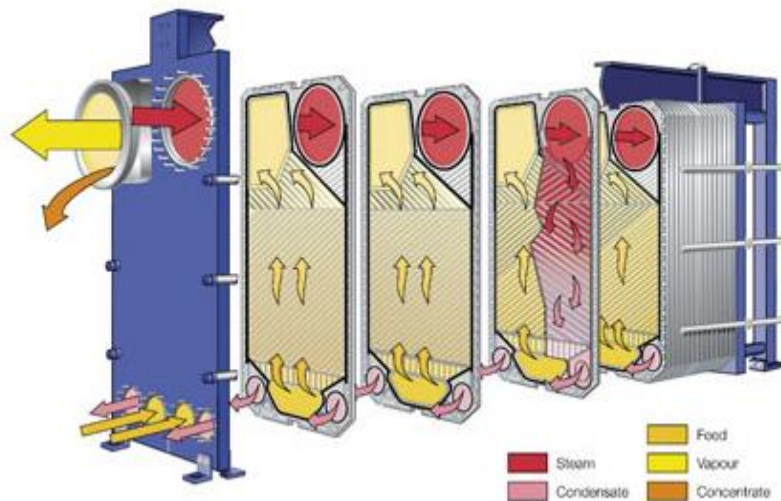


Рисунок 4 – Детальний вигляд руху рідини по пластичному випарнику

2. Розподіл потоків:

Рідини розподіляються через спеціальні прокладки між пластинами так, щоб створювати канали для потоку рідин. Потоки холодоагенту та теплоносія зазвичай спрямовані у протилежних напрямках для забезпечення ефективнішого теплообміну (протитечія).

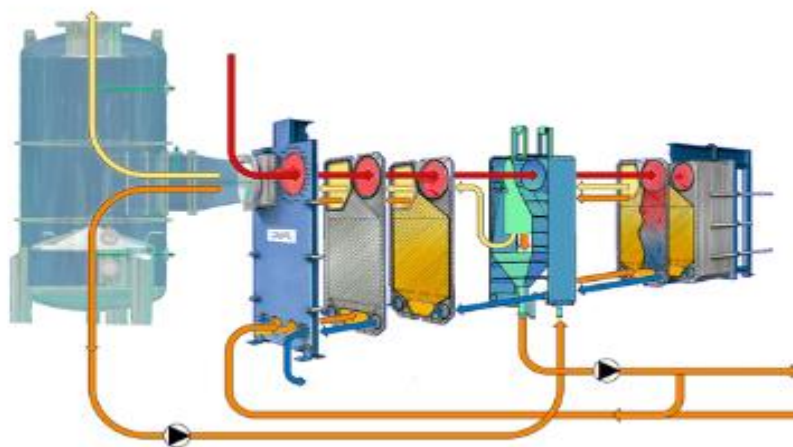


Рисунок 5 – більш детальне зображення руху рідини

Изм.	Лист	№ докум	Подпись	Дата

Б142 02.00.00.00ПЗ

Лист

10



Рисунок 6 – Пластина з корозійностійких матеріалів

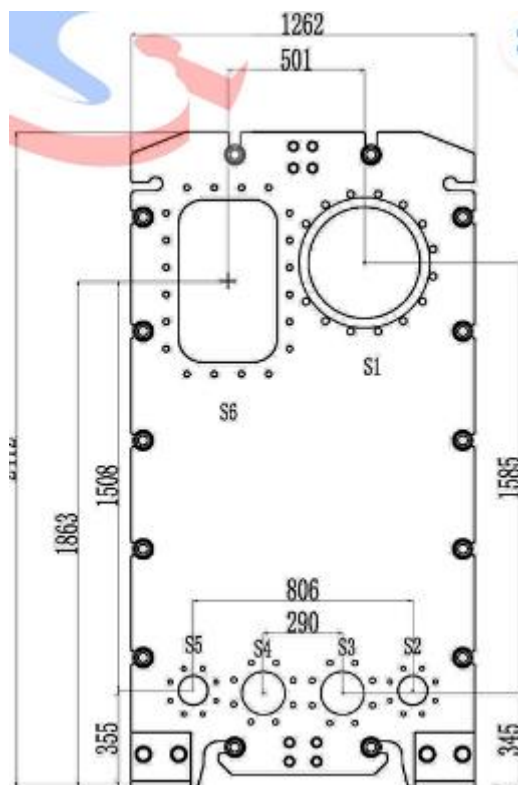


Рисунок 7 – Креслення пластини для заводських випарників

										Лист
										12
Изм.	Лист	№ докум	Подпись	Дата	Б142 02.00.00.00ПЗ					

- **Переваги:** Висока міцність, здатність працювати при високих температурах і тисках.

- **Недоліки:** Великі розміри, складність очищення та обслуговування.

Shell and Tube Heat Exchanger System

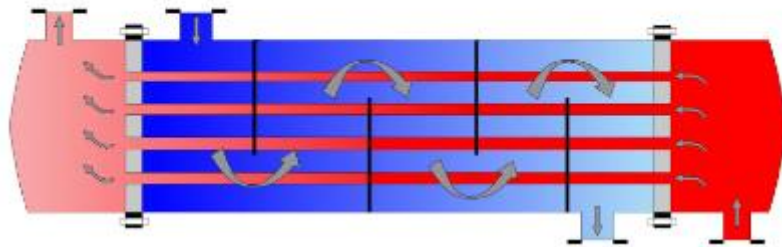


Рисунок 10 – Приклад роботи кожухотрубчастого теплообмінника

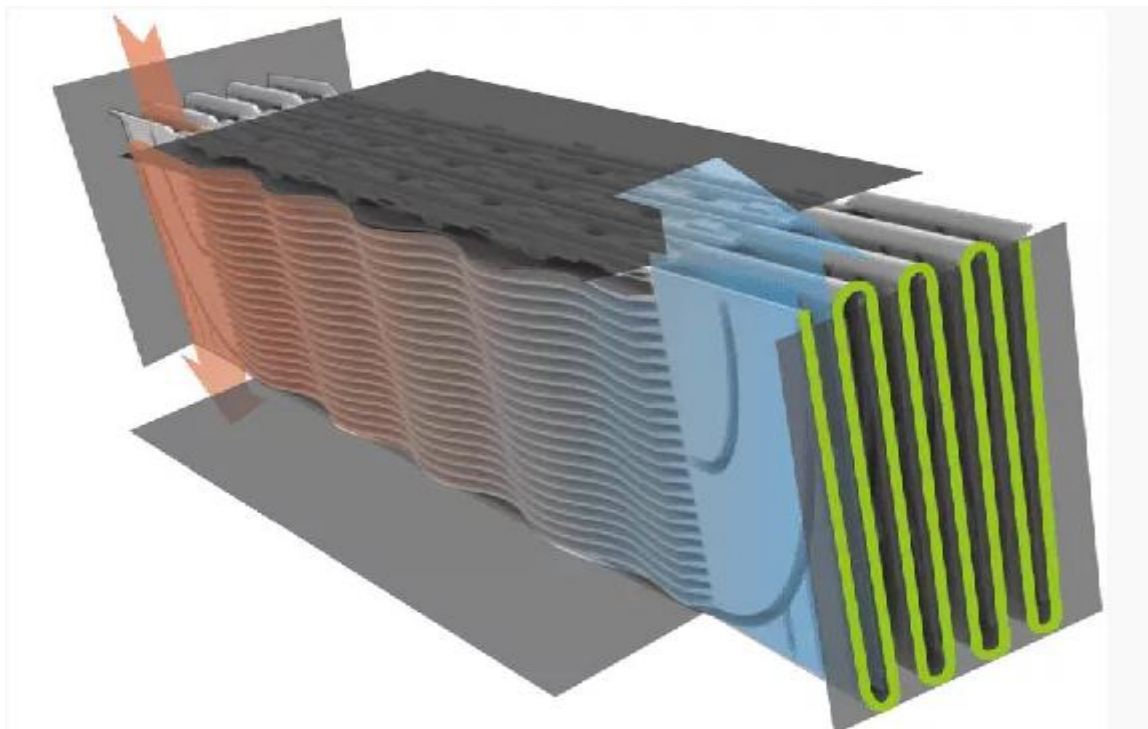
2. Повітряні теплообмінники (Air Heat Exchangers)

- **Конструкція:** Використовують повітря як теплоносій, часто оснащені вентиляторами для збільшення повітряного потоку.

- **Застосування:** Системи кондиціонування повітря, холодильні установки, автомобільні радіатори.

- **Переваги:** Простота конструкції, невисока вартість.

- **Недоліки:** Обмежена ефективність при високих температурах.



Изм.	Лист	№ докум	Подпись	Дата

Б142 02.00.00.00ПЗ

Лист

16

Температура холодильного агенту на виході із компресора:

$$h_2 = h_1 + \frac{h_{2s} - h_1}{\eta_s}$$

$$h_2 = 1570 + \frac{1640 - 1560}{0,75} = 1676 \text{ кДж/кг}$$

Розрахунки проводимо за допомогою *ph*-діаграми для холодильного агенту R717.

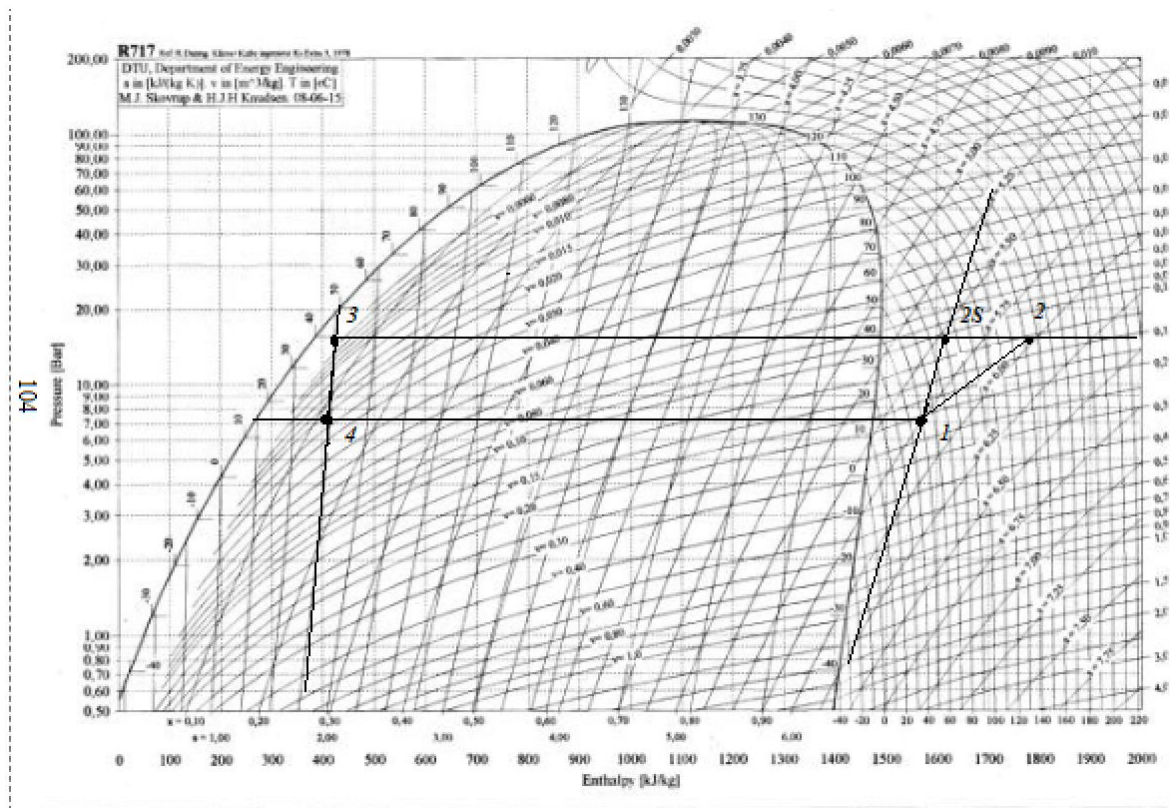


Рисунок 19 – *ph*-діаграми для холодильного агенту R717.

Таблиця 3.1 – Питомі параметри у характерних точках циклу

Параметр	Точки				
	1	2s	2	3	4
$t, ^\circ\text{C}$	3	85	115	40	3
$p, \text{бар}$	7	15	15	5	7
$h, \text{кДж/кг}$	1570	1640	1676	360	360

Випаровування аміаку:

- Охолоджений рідкий аміак надходить у випарник, де він повністю випаровується, поглинаючи тепло з розчину етиленгліколю та води. Це охолоджує розчин, який циркулює через теплообмінник.

$$Q_e = m(h_1 - h_4)$$

Де Q_e – тепло, поглинуте в випарнику.

Охолодження розчину етиленгліколю:

- Охолоджений розчин етиленгліколю та води циркулює через систему трубопроводів до теплообмінників, де він передає холод кінцевим споживачам (наприклад, у холодильні камери або системи кондиціонування повітря).

$$Q_{glycol} = m_{glycol} C_p (T_{in} - T_{out})$$

Де Q_{glycol} – тепло, що передається розчином етиленгліколю, m_{glycol} – масова витрата розчину, C_p – питома теплоємність розчину, T_{in} – температура розчину на вході в теплообмінник, T_{out} – температура на виході.

Повернення аміаку:

- Випарований аміак повертається до компресора для повторного циклу.

Переваги такої системи:

- Ефективність: Використання аміаку як холодоагенту забезпечує високу ефективність охолодження завдяки його високому коефіцієнту теплопередачі.

										Лист
Б142	02.00.00.00ПЗ									26
Изм.	Лист	№ докум	Подпись	Дата						

Параметр що дорівнює теплопередачі на поверхні
 $d_{BH} = 13\text{мм}$, –внутрішній діаметр, $d_H = 16\text{мм}$ – зовнішній.

При прийнятій швидкості розсолу в трубах випарника
 $w = 1,5\text{м/с}$ число труб в одному ході.

$$n_1 = \frac{4Q_0}{w\pi d_{BH}^2 c\rho\Delta t}$$

$$n_1 = \frac{4 \cdot 35}{1,5 \cdot 3,14 \cdot 0,013^2 \cdot 3,3 \cdot 1060 \cdot 2} = 24,1$$

Округлюємо труби до 12

Маючи число труб в одном ході перерахуємо швидкість

$$w = \frac{4Q_0}{n_1 \cdot \pi d_{BH}^2 c\rho\Delta t}$$

$$w = \frac{4 \cdot 35}{6 \cdot 3,14 \cdot 0,013^2 \cdot 3,3 \cdot 1060 \cdot 2} = 6,25$$

Число Рейнольдса

$$Re_p = \frac{w d_{BH}}{\nu}$$

$$Re_p = \frac{6,25 \cdot 0,0013}{1,8 \cdot 10^{-6}} = 45140$$

Число Нусельта для перехідного режиму

										Лист
										31
Изм.	Лист	№ докум	Подпись	Дата						

Б142 02.00.00.00ПЗ

$$Nu_p = 0,021 \cdot Re_p^{0,8} \cdot Pr^{0,43} \cdot \varepsilon_T$$

$$Nu_p = 0,021 \cdot 45140^{0,8} \cdot 15^{0,43} \cdot 0,928 = 304,6$$

Коефіцієнт тепловіддачі з боку етиленглікольно-води

$$\alpha_{с_{BH}} = \frac{Nu_p A}{d_{BH}}$$

$$\alpha_{с_{BH}} = \frac{304,6 \cdot 0,37}{0,013} = 8669 \text{ Вт/м}^2\text{К}$$

Густина теплового потоку з боку етиленглікольно-води:

$$q_{Fs} = \frac{\theta_s}{\frac{1}{\alpha_{с_{BH}}} + \sum \frac{\delta}{\gamma}}$$

Де $\sum \frac{\delta}{\gamma} = 0,8 \cdot 10^{-3} \text{ м}^2\text{К / Вт}$ - прийнятий термічний опір стінки й забруднень

$$q_{Fs} = \frac{\theta_s}{\frac{1}{8669} + 0,8 \cdot 10^{-3}} = 1083,6 \theta_s$$

Густина теплового потоку з боку робочої речовини:

$$q_{Fa} = 856,6 \theta_a^{1,667} \frac{F_H}{F_{BH}}$$

$$q_{Fa} = 856,6 \theta_a^{1,667} \cdot 0,192 = \theta_a^{1,667} 947,8$$

					Б142 02.00.00.00ПЗ	Лист
Изм.	Лист	№ докум	Подпись	Дата		32

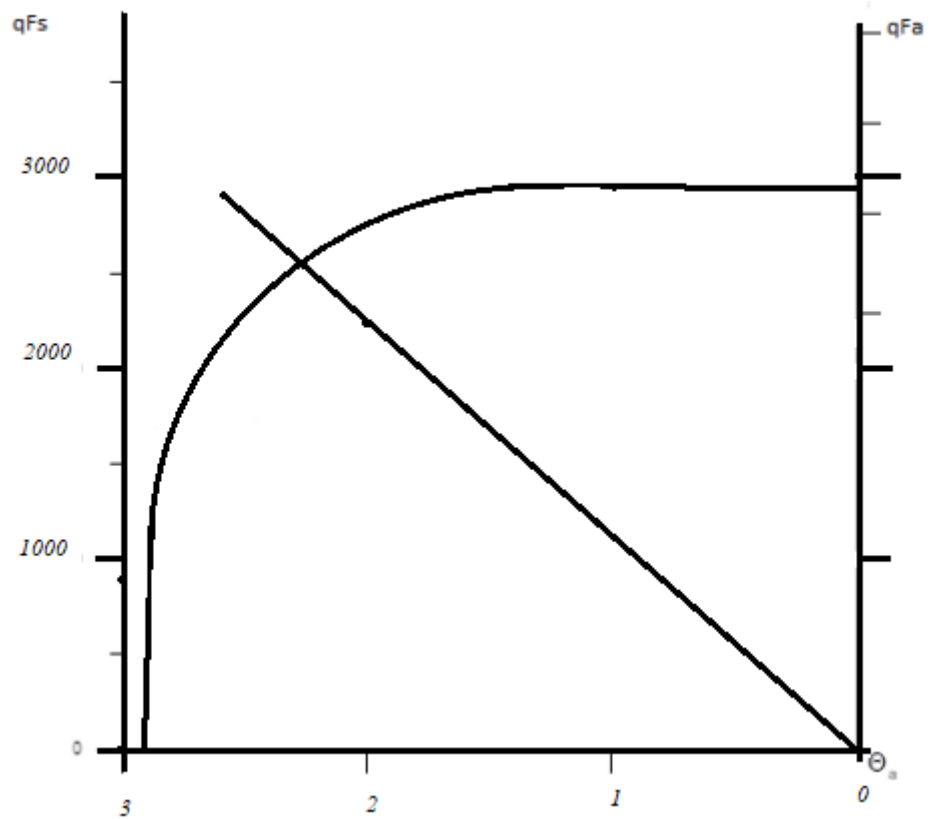


Рисунок 23 - графік залежності вирішення системи рівняння визначення густини теплового потоку.

$$q_{BH} = 2650 \text{ Вт/м}^3$$

$$F_{BH} = \frac{Q_k}{q_{BH}}$$

$$F_{BH} = \frac{35000}{2650} = 13,2 \text{ м}^2$$

6.2 Конструктивний розрахунок

$$S = 2,25 d_H$$

$$S = 2,25 \cdot 0,016 = 0,036 \text{ м}$$

					Б142 02.00.00.00ПЗ	Лист
Изм.	Лист	№ докум	Подпись	Дата		33

